

$$\frac{\pi}{8\lambda_0} = \int_0^1 \frac{\sigma_1^{-1/2}}{(1 + \lambda_0^2 \sigma_1^3)^2} (1 - \sigma_1)^{1/2} d\sigma_1,$$

$$\gamma_0 = 2U_0 \sin \theta \left( 1 + \lambda_0 \pi^{-1} \int_0^1 \frac{\sigma_1^{1/2}}{1 + \lambda_0^2 \sigma_1^3} (1 - \sigma_1)^{1/2} d\sigma_1 \right)^{-1}.$$

С помощью первого из них константа  $\lambda_0$  может быть найдена численно с любой степенью точности. Расчет показал, что  $\lambda_0 = 0,252$ . Отсюда следует  $\gamma_0 = 1,94 U_0 \sin \theta$ .

Таким образом, искомые функции будут в этом случае

$$(15) \quad \gamma_*(t) = \gamma_0 t, \quad \lambda(t) = 8\lambda_0 \gamma_0^{-3/2} t^{-3}, \quad l(t) = \gamma_0 t^2/4.$$

Полученная асимптотика может быть использована для качественного анализа и численного расчета начальной стадии обтекания кругового цилиндра. Например, соотношения (15) позволяют сделать вывод, что центр тяжести завихренности вихревого следа и его конец  $B_1$  в окрестности момента времени  $t = 0$  движутся по прямым, составляющим с осью  $\sigma_1$  углы около  $6$  и  $14^\circ$  соответственно.

Автор считает приятным долгом выразить благодарность Д. Н. Горелову за постоянное внимание к работе и ценные замечания.

Поступила 20 VII 1982

#### ЛИТЕРАТУРА

1. Гогиш Л. В., Нейланд В. Я., Степанов Г. Ю. Теория двумерных отрывных течений.— Итоги науки и техники. Гидромеханика, 1975, т. 8, с. 5.
2. Белоцерковский С. М., Нишиц М. И. Отрывное и безотрывное обтекание тонких крыльев идеальной жидкостью. М.: Наука, 1978.
3. Мусхелишвили И. И. Сингулярные интегральные уравнения. М.: Наука, 1968.
4. Ильинич К. П., Постоловский С. Н. Расчет нестационарного отрывного обтекания тел плоским потоком невязкой жидкости.— Изв. АН СССР. МЖГ, 1972, № 2.
5. Бетяев С. К., Захаров С. Б., Молчанов В. Ф., Судаков Г. Г. Некоторые задачи теории отрывных течений идеальной жидкости и газа. Труды XI чтений К. Э. Циолковского, 1976.
6. Никольский А. А. О «второй» форме движения идеальной жидкости около обтекаемого тела (исследование вихревых отрывных потоков).— ДАН СССР, 1957, т. 116, № 2.
7. Бетяев С. К. Эволюция вихревых пелен.— В кн.: Динамика сплошной среды со свободными поверхностями. Чебоксары: изд. Чуваш. ун-та, 1980.
8. Крикунов Ю. М. Дифференцирование особых интегралов с ядром Коши и однограничное свойство голоморфных функций.— В кн.: Краевые задачи теории функций. перер. Казань: изд. Казан. ун-та, 1962.

УДК 532.62

#### КРУПНЫЕ ВОЛНЫ И СРЫВ ПРИ ГРАВИТАЦИОННОМ СТЕКАНИИ ПЛЕНКИ ЖИДКОСТИ

*A. E. Боков, B. Г. Ганчев*

(Москва)

При стекании пленки жидкости по вертикальной стенке на ее поверхности развивается волновое движение. Характеристики волн не остаются неизменными, а меняются вдоль пути пробега пленки [1–3].

Волновое движение имеет характер слабо стационарного эргодического процесса. Поэтому для его описания могут быть использованы осредненные характеристики — средняя толщина пленки  $\delta_{ср}$ , средняя толщина непрерывного слоя  $\delta_n$ , средняя толщина на выступах  $\delta_b$ , средняя высота волн  $h = \delta_b - \delta_n$ , средние частота  $\omega$  и длина волны  $\lambda$ .

Если средняя толщина пленки стабилизируется уже на небольших расстояниях от входа (как правило, не более 200–400 мм), то насыщение волнового движения затягивается до 3–4 м. Наряду с мелкими волнами капиллярной природы развива-

ются крупные волны, переносящие значительную часть расхода [4, 5]. Крупные волны покрыты капиллярной рябью, имеют крутой передний склон с углом к направлению движения около  $90^\circ$ . Они перемещаются с относительно небольшой частотой  $\omega = 3-7 \text{ c}^{-1}$ .

При достаточно большой плотности орошения с гребней волн происходит срыв жидкости [4, 6]. Первый срыв — отдельные капли — обнаружен [4] уже при плотности орошения  $\Gamma = 1,3-1,5 \text{ кг}/(\text{м}\cdot\text{с})$  на расстоянии от входа около 15 м. По мере увеличения расхода срыв становится регулярным и начало его поднимается вверх по потоку. С возникновением срыва прекращается рост волны.

Более или менее строгие аналитические решения получены только для установившегося волнового движения в ламинарно-волновой области течения, например, в [7, 8]. Эти решения не могут быть распространены в область турбулентно-волнового течения, не описывают изменения характеристик волн с длиной пробега и развития волн в условиях срыва. Полученные ранее чисто эмпирические зависимости для осредненных волновых характеристик [3, 4] не описывают развитие волн в области малых плотностей орошения при  $Re < 200$  и при больших плотностях орошения в условиях срыва. Ниже приводится упрощенная модель развития крупных волн, в том числе в условиях срыва.

Примем, что форму крупной волны можно аппроксимировать выражением (фиг. 1)

$$(1) \quad \delta = \delta_h(1 + C l^n),$$

где  $\bar{l} = l/\delta^*$  — безразмерная координата волнового профиля;  $0 \leq \bar{l} \leq \bar{\lambda}$ ;  $\delta^* = (\sigma/\rho g)^{1/2}$  — масштаб длины;  $\sigma$  — поверхностное натяжение;  $\rho$  — плотность;  $\bar{\lambda} = \lambda/\delta^*$  — безразмерная длина волны, являющаяся функцией пути пробега  $x$ .

При  $\bar{l} = 0$   $\delta = \delta_h$ , при  $\bar{l} = \bar{\lambda}$   $\delta = \delta_b$ .

Из (1) следует

$$(2) \quad h = \delta_b - \delta_h = C \delta_h \bar{\lambda}^n.$$

Профиль волны подбираем таким образом, чтобы выполнялось условие

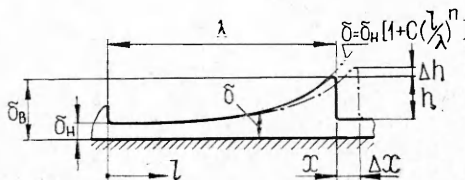
$$(3) \quad \int_0^{\lambda} \delta dl = \delta_{cp} \lambda,$$

тогда

$$(4) \quad \delta_h = \delta_{cp} - (1/(n+1))h.$$

Анализ данных экспериментов (см., например, [3, 4]) показывает, что соотношение (4) действительно выполняется при  $n = 4$  в ламинарно-волновой области течения и при  $n = 5/2$  — в турбулентно-волновой. На фиг. 2, а — г приведены зависимости  $\delta_{cp}$ ,  $\delta_h$ ,  $h$  от  $x$  (точки 1—3 соответственно) при следующих значениях: а —  $\Gamma = 0,89 \text{ кг}/(\text{м}\cdot\text{с})$ ,  $Re = 940$ ,  $t = 18-28^\circ\text{C}$ ; б —  $\Gamma = 0,493 \text{ кг}/(\text{м}\cdot\text{с})$ ,  $Re = 675$ ,  $t = 35^\circ\text{C}$ ; в —  $\Gamma = 0,493 \text{ кг}/(\text{м}\cdot\text{с})$ ,  $Re = 428$ ,  $t = 28^\circ\text{C}$ ; г —  $\Gamma = 0,09-0,112 \text{ кг}/(\text{м}\cdot\text{с})$ ,  $Re = 65$ ,  $t = 5^\circ\text{C}$ .

Полагаем, что по длине волны профиль скорости автомодельный (аналогичное допущение использовано П. Л. Капицей при разработке теории капиллярных волн) и определяется квадратичной зависимостью  $u = (g/v)(\delta y - y^2/2)$  в ламинарно-волновом режиме и степенной зависимостью  $u = U(y/\delta)^{1/7}$  в турбулентно-волновом ( $y$  — координата по нормали к стенке,  $v$  — коэффициент кинематической вязкости жидкости,  $U$  — скорость на поверхности). В связи с большей толщиной слоя во фронте волны он движется со скоростью  $u_1$ , большей скорости движения во впадине перед фронтом  $u_2$ . Фронт волны набегает на впадину, и объем волны увеличивается (эффект «бульдозера»). При сохранении автомодельности безразмерного профиля волны



Фиг. 1

ее высота увеличивается, а толщина непрерывного слоя уменьшается.

За время  $d\tau = dx/u_{h1}$  приращение объема будет

$$dV = \left( \int_0^{\delta_h} u_1 dy - \int_0^{\delta_h} u_2 dy \right) dx/u_{h1},$$

откуда в ламинарно-волновой области

$$dV = \frac{1}{2} \frac{\delta_h h}{h + \delta_h/2} dx;$$

в турбулентно-волновом режиме

$$(5) \quad dV = \frac{7}{8} \delta_h [1 - (\delta_h/\delta_e)^{4/7}] dx,$$

где  $u_{h1}$  — скорость во фронте волны на расстоянии от стенки  $y = \delta_h$ .

С другой стороны, приращение объема волны можно записать в виде

$$dV = \frac{1}{n+1} (\lambda dh + hd\lambda).$$

Объем волны отнесен к периметру единичной длины.

Используя выражения (1)–(4), получим

$$(6) \quad dh = \frac{1}{n} \left( \frac{h}{C\delta_h} \right)^{1/n} \left[ 1 + \frac{1}{(n+1)^2} \frac{h}{\delta_e} \right] dh.$$

Из равенств (5), (6) в ламинарно-волновой области имеем

$$dh = C_x^{1/4} \frac{1}{\delta^*} \frac{\delta_h^{1.25} h^{0.75}}{(2h + \delta_h)(1 + 0.04h/\delta_h)} dx,$$

в турбулентно-волновой области

$$(7) \quad dh = \frac{35}{16} C_t^{2/5} \frac{1}{\delta^*} \frac{\delta_h^{7/5}}{h^{2/5}} \left[ 1 - \left( \frac{\delta_h}{\delta_e} \right)^{4/7} \right] \left( 1 + \frac{4}{49} \frac{h}{\delta_e} \right)^{-1} dh.$$

Из сопоставления с экспериментом следует, что  $C_x^{1/4} = 8,345 \cdot 10^{-3}$ ,  $C_t^{2/5} = 3,6685 \cdot 10^{-3}$ .

Если предположить, что крупные волны развиваются из капиллярных, то из анализа данных [5], а также наших данных при  $x < 0,1$  м начальную относительную высоту волн можно считать приблизительно постоянной и равной  $h_0/\delta_{cp} \approx 0,15$ .

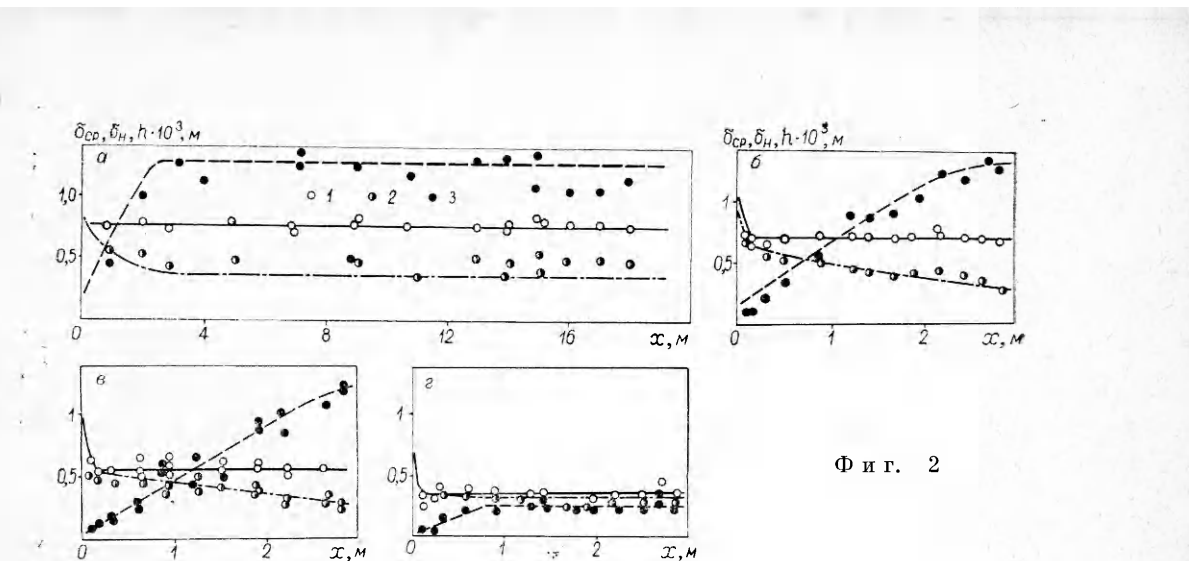
На фиг. 2 результаты некоторых экспериментов, проведенных в условиях стекания пленки по наружной поверхности цилиндрических рабочих участков диаметром 60 мм и длиной 3 и 19 м в досрочных режимах, сопоставляются с расчетом по зависимости (7). Средняя толщина пленки  $\delta_{cp}$  определялась по зависимости из [3].

Расчет по зависимости (7) достаточно хорошо обобщает результаты эксперимента на участке развития волнового движения. Здесь увеличивается высота волн и соответственно уменьшается толщина непрерывного слоя. Далее происходит достаточно резкий переход к волнам с постоянными осредненными характеристиками. Причем этот переход происходит при постоянном значении числа Рейнольдса  $Re^*$  непрерывного слоя и не зависит от  $Re$ , найденного по полному расходу в пленке ( $Re = \Gamma/\rho v$ ).

В ламинарно-волновой области  $Re_1^* \approx 45$ , в турбулентно-волновой  $Re_2^* \approx 300$ . Значения  $Re^*$  определяются зависимостями

$$Re_1^* = \delta_h^3 / (3v^2/g), \quad Re_2^* = [\delta_h / (0,303(v^2/g)^{1/3})]^{12/7}.$$

На фиг. 3 показано полученное расчетом изменение  $\delta_h$ ,  $\delta_e$  и  $\delta_v$  (без учета срыва) вдоль длины пробега пленки в области плотностей орошения  $\Gamma = 1-7$  кг/(м·с) при одинаковой температуре, равной 20°C. При отсутствии срыва при одинаковой температуре значения  $\delta_h$  стремятся к



Фиг. 2

одинаковому значению, величина же  $\delta_b$  существенно различна и увеличивается с ростом  $\Gamma$  ( $\Gamma = 1,0; 1,5; 2,0; 3,0; 4,0; 5,0; 7,0$  кг/(м·с), кривые 1—7 соответственно).

Как указывалось выше, при определенных условиях с гребней волн происходит срыв жидкости. Анализ результатов экспериментов [6] показывает, что срыв возникает в том случае, если кинетическая энергия элемента жидкости в гребне волны превысит энергию у ее основания на определенную величину и этой энергии будет достаточно для отрыва капель. Условия возникновения срыва могут быть обобщены критическим числом Вебера  $We^* = (\rho(U_1 - u_{h1})^2 \delta^*) / \sigma$ . В рамках рассмотренной модели

$$We^* = 10^3 \frac{\rho \delta^*}{\sigma v^{2/7}} \delta_b^{8/7} (\delta_b^{1/7} - \delta_h^{1/7})^2,$$

и данные по началу срыва обобщаются значением  $We^* = 21,5$ .

Граница начала срыва в координатах ( $\delta_b, x$ ) обозначена на фиг. 3 кривой  $C$ . С ростом плотности орошения существенно увеличивается средняя высота гребней волн  $\delta_b$ , при которой начинается срыв, а сечение начала срыва сдвигается ко входу жидкости на рабочий участок. При  $Re < 1300-1500$  срыв вообще не возникает. Срыв жидкости, таким образом, может происходить только в области турбулентно-волнового движения.

Будем считать, что и после срыва справедлива аппроксимация формы волны выражением (1), а показатель степени сохраняет свое значение ( $n = 2, 5$ ).

Пусть на увеличение полного объема в волне и под нею идет объем жидкости, пропорциональный найденному по (5):

$$(8) \quad dV_{\text{п}} = k(7/8)\delta_h[1 - (\delta_h/\delta_b)^{4/7}]dx.$$

С другой стороны, приращение полного объема можно записать в виде

$$(9) \quad dV_{\text{п}} = \delta_{cp}d\lambda + \lambda d\delta_{cp}.$$

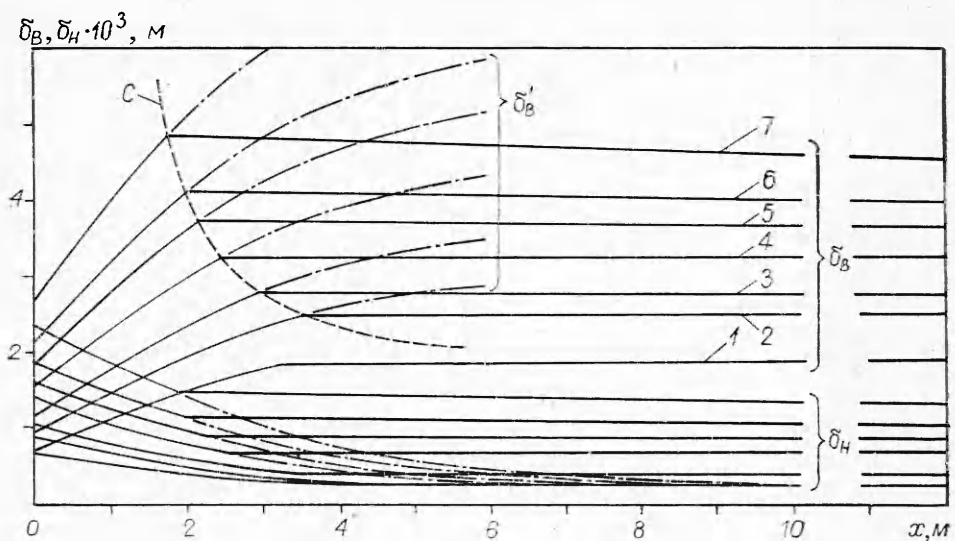
Используя условие, что после начала срыва  $We = We^* = \text{const}$ , в нашем случае равнозначное условие  $\delta_b^{5/7} - \delta_b^{4/7}\delta_h^{1/7} = \text{const}$ , и условия (1)—(3), выражение (9) можно преобразовать к виду

$$(10) \quad dV_{\text{п}} = \frac{\delta_{cp}}{n} \frac{\delta^*}{C^{1/n}} \left( \frac{h}{\delta_h} \right)^{1/n} \left[ \frac{n+1}{h} - \left( \frac{n+1}{h} + \frac{1}{\delta_h} \right) \frac{n+1}{B} + \frac{n}{\delta_{cp}} \right] d\delta_{cp},$$

$$\text{где } B = 1 + \frac{\delta_h}{5n\delta_b^{1/7}\delta_h^{6/7} - 4n\delta_h}.$$

Приравнивая (8) и (10), получим

$$(11) \quad d\delta_{cp} = A \frac{\delta_h^{1,4}}{\delta_{cp}\delta^* h^{0,4}} \left[ 1 - \left( \frac{\delta_h}{\delta_b} \right)^{4/7} \right] \left[ \frac{3,5}{h} - \left( \frac{12,25}{h} + \frac{3,5}{\delta_h} \right) \frac{1}{B} + \frac{2,5}{\delta_h} \right]^{-1} dx.$$



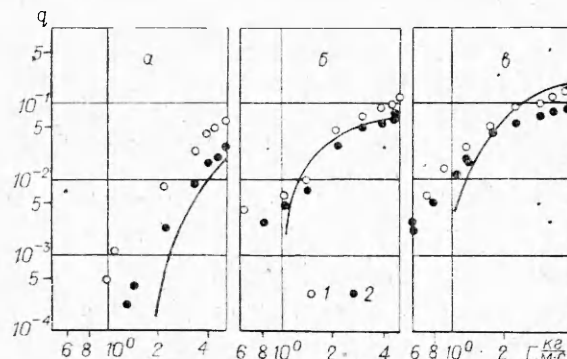
Фиг. 3

Найденное из (11) значение  $\delta_{cp}$  в условиях срыва позволяет определить долю сорванной жидкости в рассматриваемом сечении

$$(12) \quad q = 1 - (\delta_{cp}/\delta_{cp}^0)^{12/7},$$

где  $\delta_{cp}^0$  — средняя толщина пленки в отсутствие срыва.

Данные экспериментов по срыва достаточно хорошо обобщаются зависимостями (11), (12) при  $A = (7/8)kC^{1/n} = 4,375 \cdot 10^{-4}$ . На фиг. 4 соизмеряются значения  $q$  по расчету и найденные в эксперименте с помощью отбора насадками диаметром 40 и 45 мм при свободном стекании жидкости внутри вертикального канала диаметром 54 мм ( $x = 3$ ; 6 и 16 мм —  $a$  — в соответственно). Расчет по полученным зависимостям отражает найденное в эксперименте увеличение доли срыва с увеличением



Фиг. 4

метить даже некоторое их снижение вместе с уменьшением средней толщины (за счет срыва)  $\delta_{cp}$ . Вместе с тем резко замедляется уменьшение средней толщины непрерывного слоя.

Поступила 26 I 1982

#### ЛИТЕРАТУРА

1. Brauer H. Strömung und Wärmeübergang bei Reiselfilmen.— VDJ-Forschungsheft, 1956, vol. 457, N 22.
2. Веронцов Е. Г. Особенности волнового течения с изменением длины пробега пленки.— ИФЖ, 1969, т. 16, № 1.

3. Ганчев Б. Г., Козлов В. М., Лозовецкий В. В. Исследование нисходящего течения жидкости по вертикальной поверхности и теплопереноса к ней.— ИФЖ, 1971, т. 20, № 4.
4. Ганчев Б. Г., Козлов В. М. Исследование гравитационного течения пленки жидкости по стенкам вертикального канала большой длины.— ПМТФ, 1973, № 1.
5. Chu K. J., Dukler A. E. Statistical characteristics of thin, wavy films. Pt III. Structure of the large waves and their resistance to gas flow.—AIChE J., 1975, vol. 21, N 3.
6. Ганчев Б. Г., Козлов В. М., Лозовецкий В. В. Стекание пленки жидкости в вертикальном канале.— В кн.: Исследование процессов в энергетических установках. Вып. 2. М.: изд. МВТУ, 1975.
7. Маурин Л. Н., Сорокин В. С. О волновом течении тонких слоев вязкой жидкости.— ПМТФ, 1962, № 4.
8. Накоряков В. Е., Шрейбер И. Р. Волны на поверхности тонкого слоя вязкой жидкости.— ПМТФ, 1973, № 2.

УДК 532.593

## ЭКСПЕРИМЕНТАЛЬНОЕ ИССЛЕДОВАНИЕ УЕДИНЕННЫХ ВНУТРЕННИХ ВОЛН В ДВУХСЛОЙНОЙ ЖИДКОСТИ

*B. I. Букреев, N. V. Гаврилов*

(Новосибирск)

Получены экспериментальные данные для проверки некоторых результатов теоретических исследований уединенных внутренних волн в двух различных случаях. В первом из них уединенная волна генерировалась на поверхности раздела двух мелких слоев несмешивающихся жидкостей разной плотности  $\rho_1$  и  $\rho_2 > \rho_1$ , ограниченных снизу горизонтальным дном, сверху — свободной поверхностью и в невозмущенном состоянии покоящихся (фиг. 1, а). Теоретически такая схема впервые рассматривалась в приближении Буссинеска [1], а затем в условиях применимости уравнения Кортевега — де Бриза в [2, 3].

Соответствующие этому случаю экспериментальные исследования были выполнены в [4, 5]. Полученная в них информация дополнена в данных исследованиях, в частности, в том отношении, что в опытах наряду со скоростью распространения уединенной волны и ее профилем регистрировались также траектории жидких частиц. Ранее были выполнены еще два лабораторных экспериментальных исследования уединенных внутренних волн в покоящейся в невозмущенном состоянии жидкости [6, 7], но при ином, чем указано выше, распределении плотности по глубине и иной геометрии течения.

Второй из рассмотренных случаев отличался тем, что слои были ограничены сверху непроницаемой горизонтальной «крышкой» и, что более существенно, в невозмущенном состоянии имел место сдвиг скорости между слоями (фиг. 1, б). Возможность образования уединенных волн на поверхности раздела в этой схеме движения стратифицированной жидкости впервые была предсказана на основе второго приближения теории мелкой воды в докладе Л. В. Овсянникова, который будет упоминаться ниже, как работа [8] (в списке литературы под этим номером указана краткая аннотация доклада).

Ниже используется неподвижная прямоугольная система координат  $x$ ,  $y$ , показанная на фиг. 1 (разное положение начала отсчета по оси  $y$  и разный способ задания глубин в схемах *a* и *b* приняты для согласования с соответствующими теоретическими работами). Отклонение границы раздела от положения равновесия обозначено символом  $\eta$ , максимальное отклонение (амплитуда волны) —  $a$ , скорость распространения волны —  $c$ . Рассматриваются только двумерные волны.

Для реализации в опытах схемы, изображенной на фиг. 1, *a*, использовался непроточный лоток из оргстекла прямоугольного поперечного сечения длиной 220 см, шириной 17 см и высотой 15 см. Стратификация в нем создавалась с помощью одной из двух пар несмешивающихся жидкостей: керосина и воды с отношением плотностей  $\sigma = \rho_1/\rho_2 = 0,8$  или воды и хладона-113 с  $\sigma = 0,67$ . Генерация уединенной волны на поверхности раздела осуществлялась, как и в [4, 5], пластиной *I*, перемещаемой на некоторое расстояние по вертикали. При этом имели место нежелательные возмущения свободной поверхности, которым в результатах теоретического анализа соответствует так называемая быстрая мода колебаний.